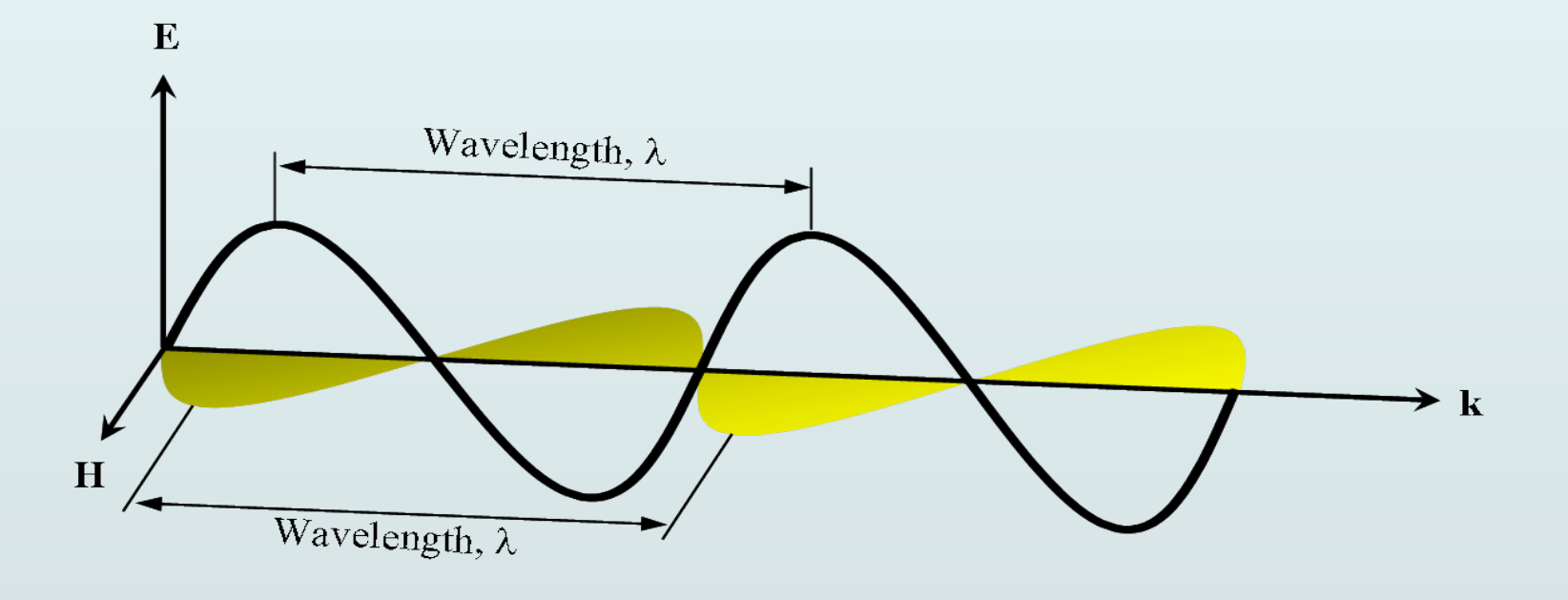
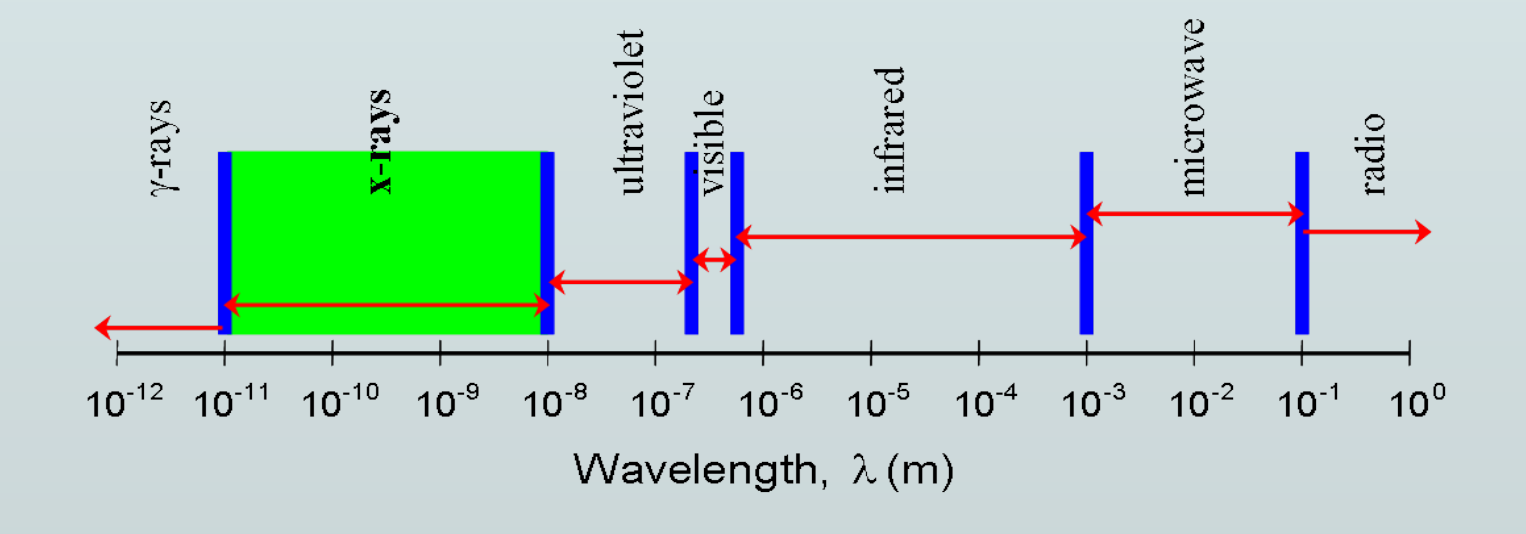
Введение в рентгеновскую дифракцию

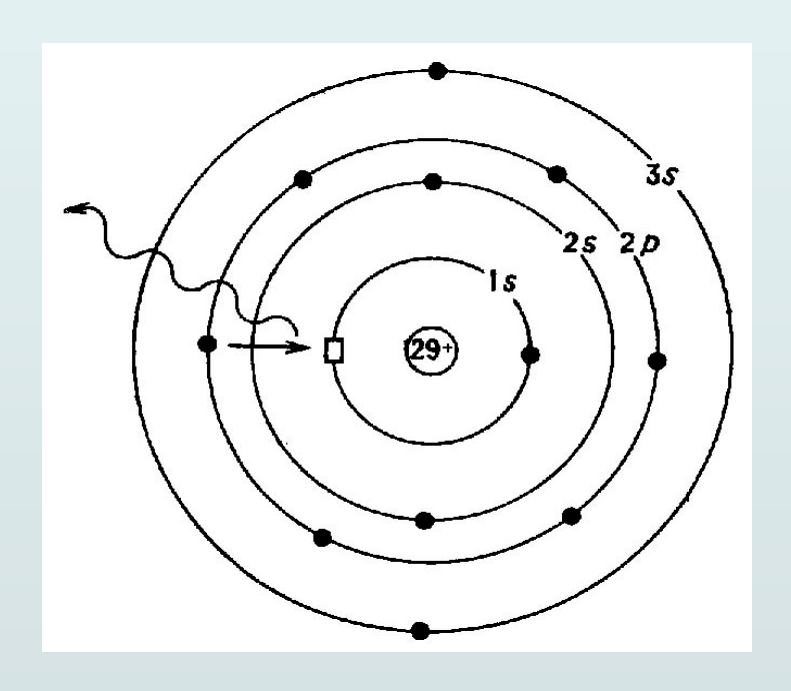
Е.В. Антипов Химический факультет МГУ

Литература:

- 1. V.K. Pecharsky & P.Y. Zavalij "Fundamentals of Powder Diffraction and Structural Characterization of Materials"
- 2. А. Вест Химия твёрдого тела, т.1.
- 3. Л.М. Ковба, В.К. Трунов «Рентгенофазовый анализ»
- 4. "The Rietveld method" (Edited by R.A. Young)
- 5. "Structure Determination from Powder Diffraction Data" (Edited by W.I.F. David *et al.*)
- 6. www.ccp14.ac.uk



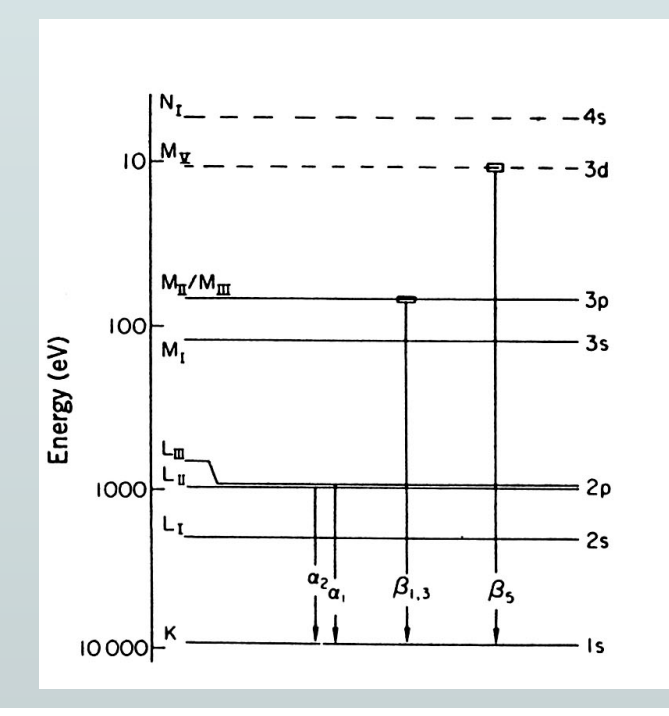


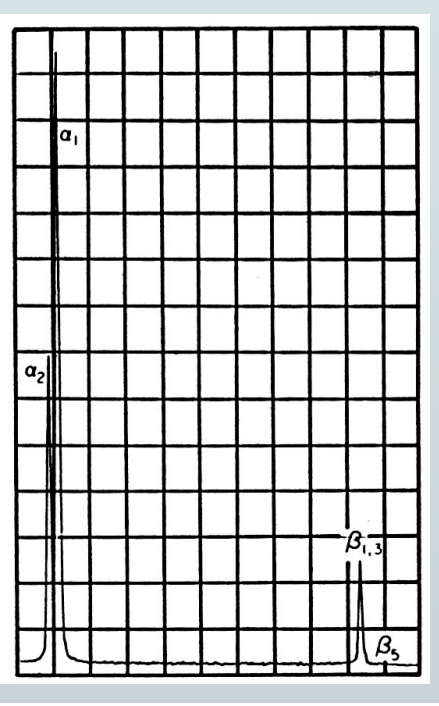


 K_{α} - излучение $\mathsf{2p} \to \mathsf{1s}$

 K_{β} - излучение $3p \rightarrow 1s$

Закон Мозли (для К-серии): $1/\lambda = R(Z-1)^2 \times (1-1/n^2) \text{ см}^{-1}$ R=109737 (конст.Ридберга) n=2,3....





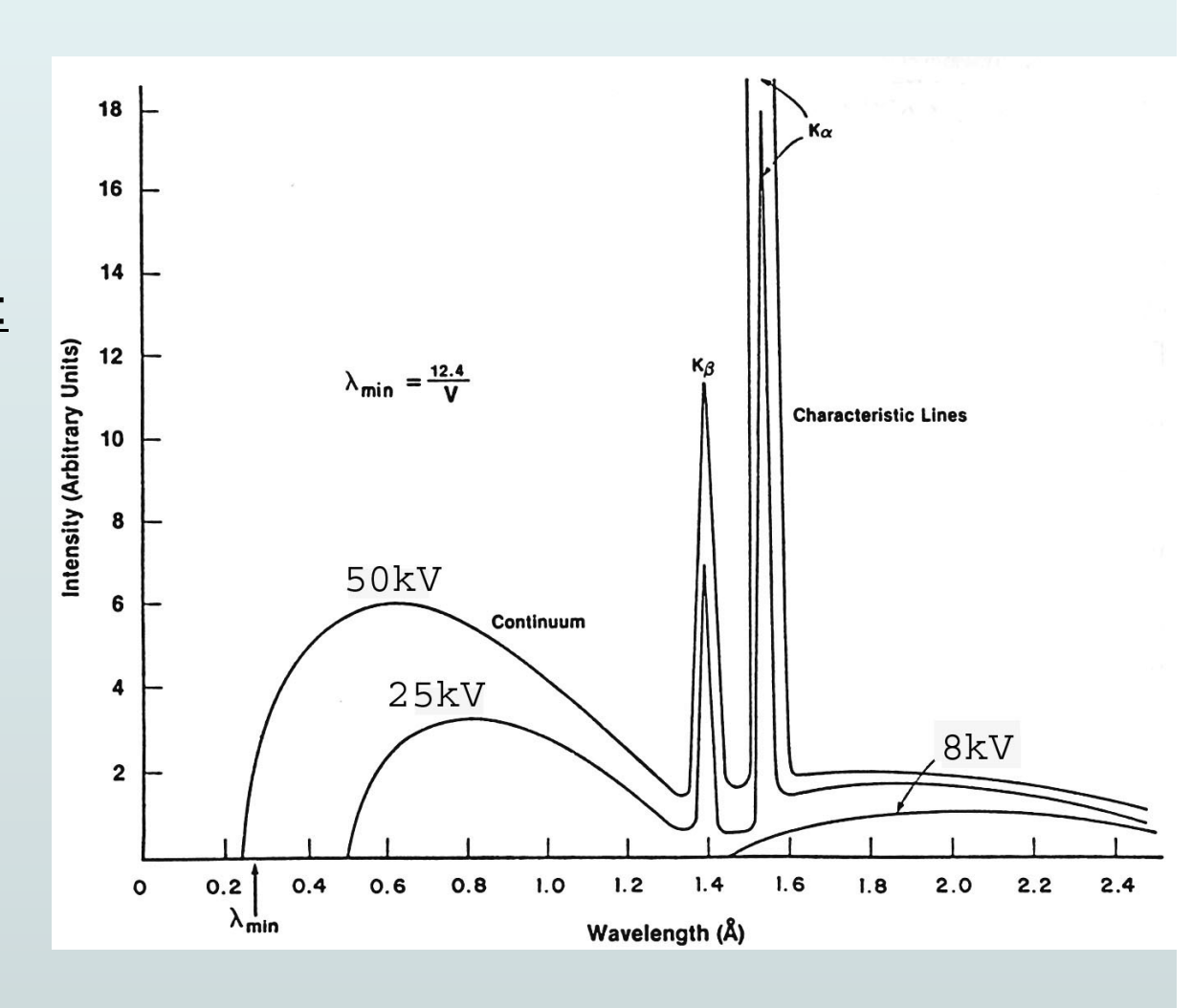
Характеристическое излучение:

 $I=\alpha i(U-U_0)^n$ для $U<4U_0$ U_0 - потенциал возбуждения U - напряжение на трубке i - сила тока

1.6<n<2

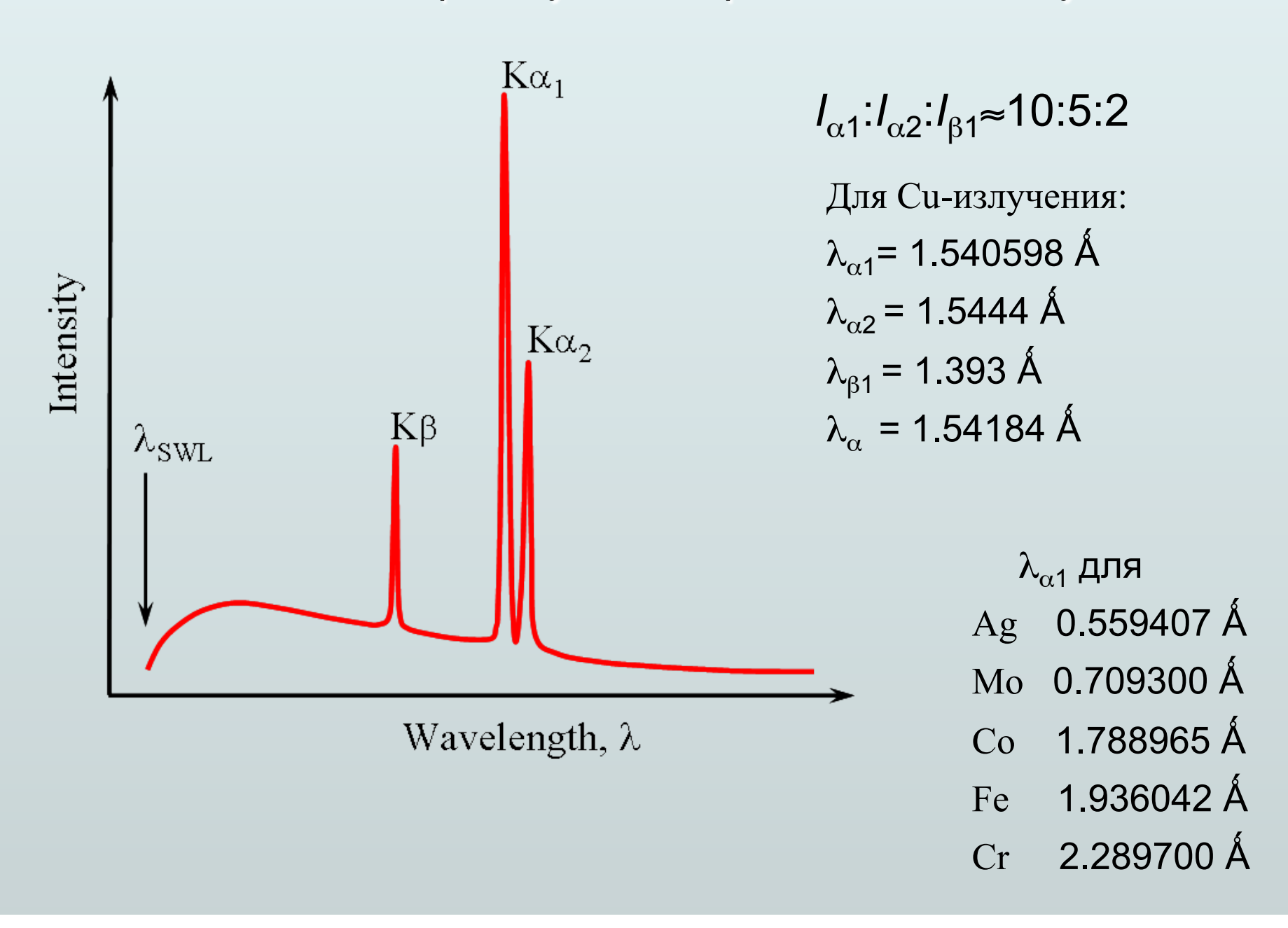
Белое излучение:

I=kiU²Z



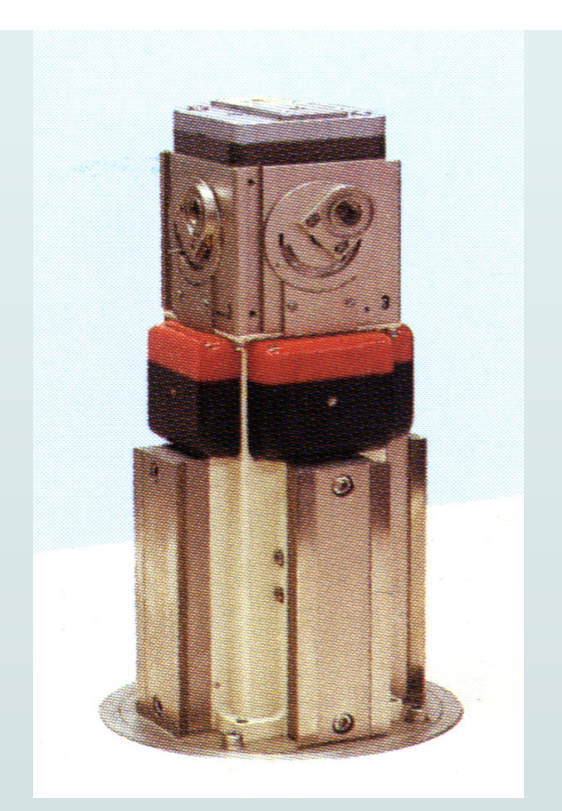
Для медного излучения $U_0 \approx 9 \text{ kV}$

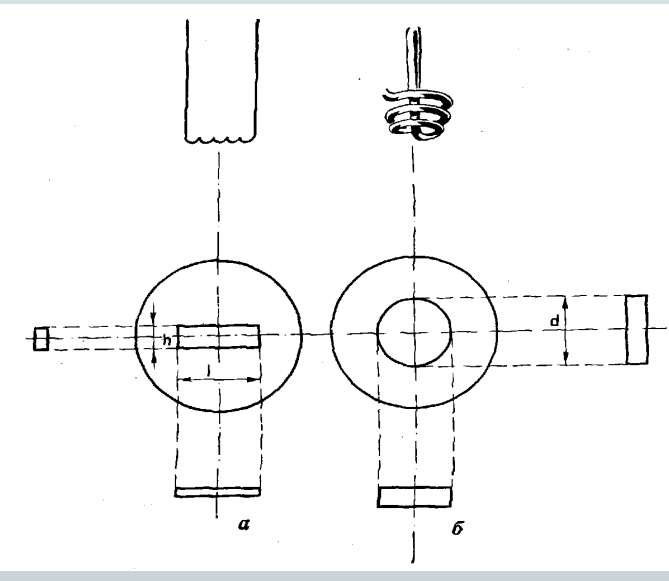
Спектр испускания рентгеновских лучей



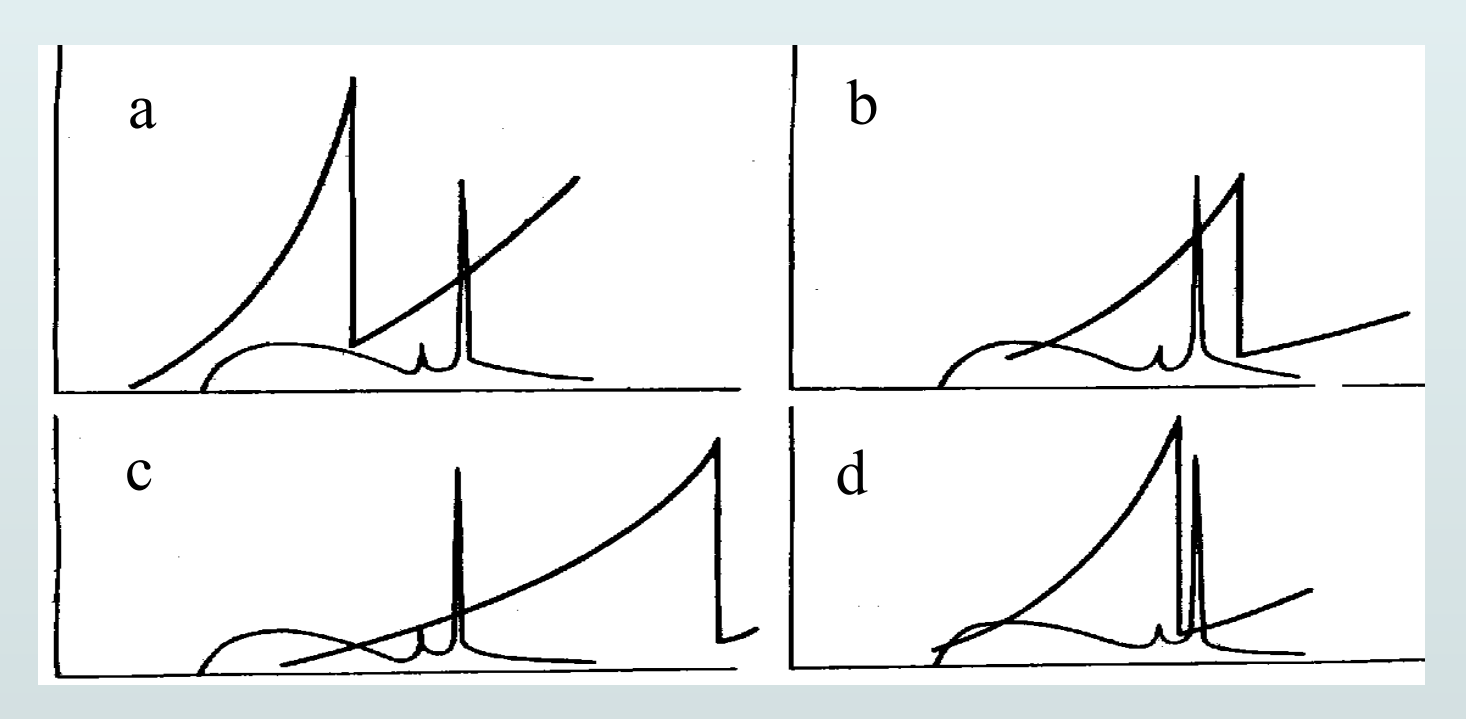
Рентгеновские трубки







Выбор излучения и фильтра

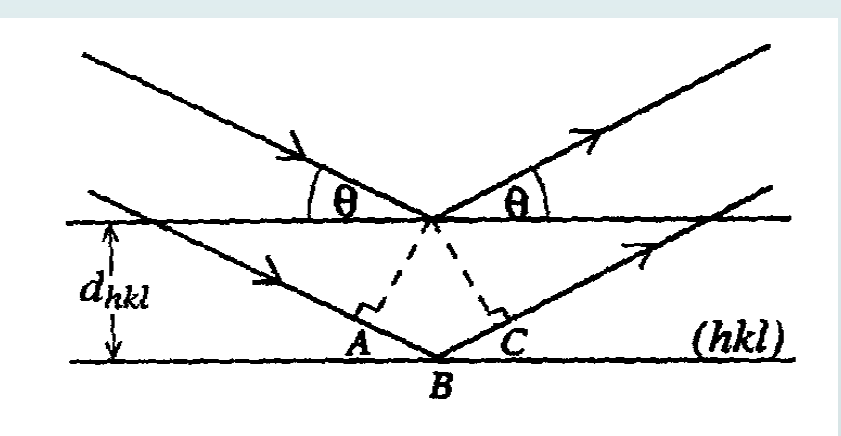


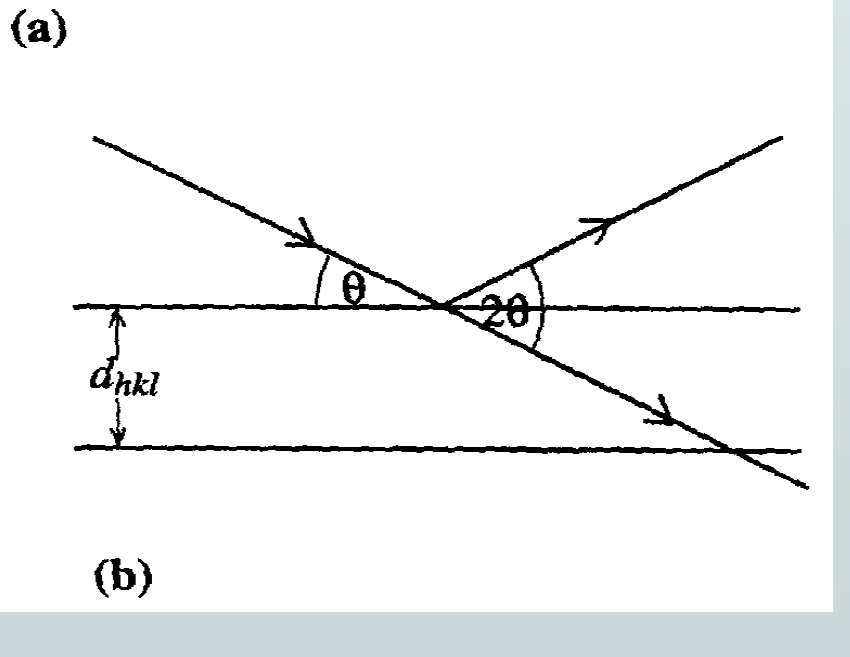
а, с - правильно; b - неправильно; d - выбор фильтра $\lambda_{\beta} \!\!<\!\! \lambda_{\phi \mathsf{ил}} \!\!<\!\! \lambda_{\alpha} \; \text{ - условие выбора фильтра}$

Рентгенограмма - набор межтілоскостных расстояний (d, A) и соответствующих интенсивностей (I)

!	D	2Theta	I(rel)	I(abs)	I(int)	FWHM	Н	K	L	
14	1.248472	6.1981	3.04	33	7.68	0.1781	0	1	0	
C	0.814859	9.0027	6.16	66	14.78	0.1694	1	0	0	
C	9.587812	9.2164	2.66	28	6.36	0.1688	1	1	0	
-	7.140107	12.3866	4.38	47	9.89	0.1596	-1	1	0	M
	5.121028	17.3024	24.07	258	50.16	0.1472	-1	-1	1	
4	1.758203	18.6331	25.94	278	52.98	0.1443	0	1	1	
3	3.736961	23.7913	68.18	729	130.34	0.1350	0	-3	1	

2d sin θ =n λ θ - зависит от λ



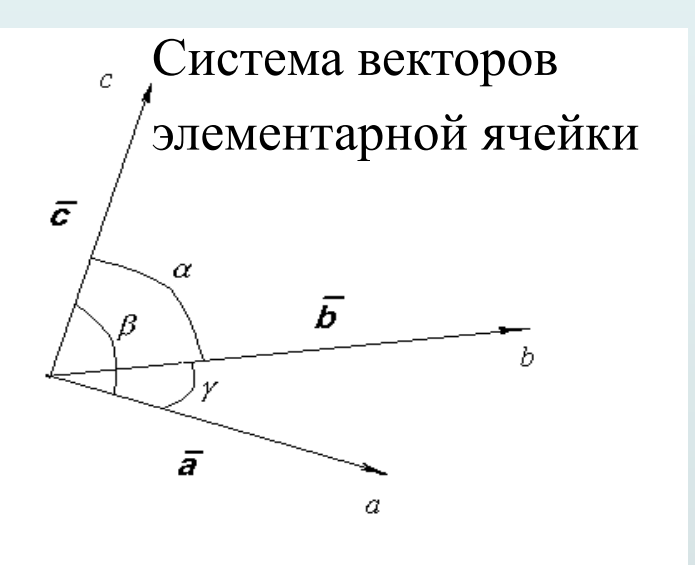


$$AB=BC=d_{hkl}\sin\theta$$

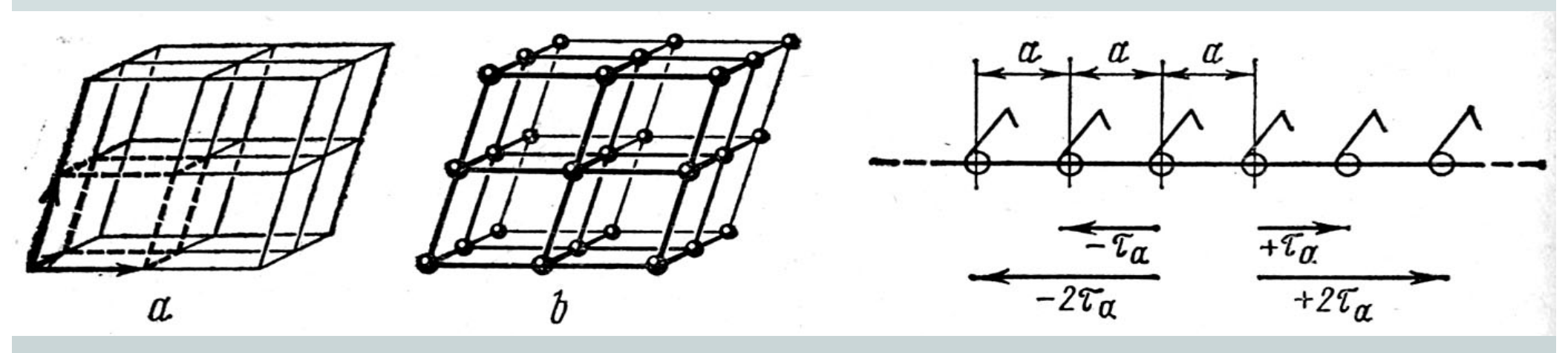
$$2d_{hkl}\sin\theta=n\lambda$$

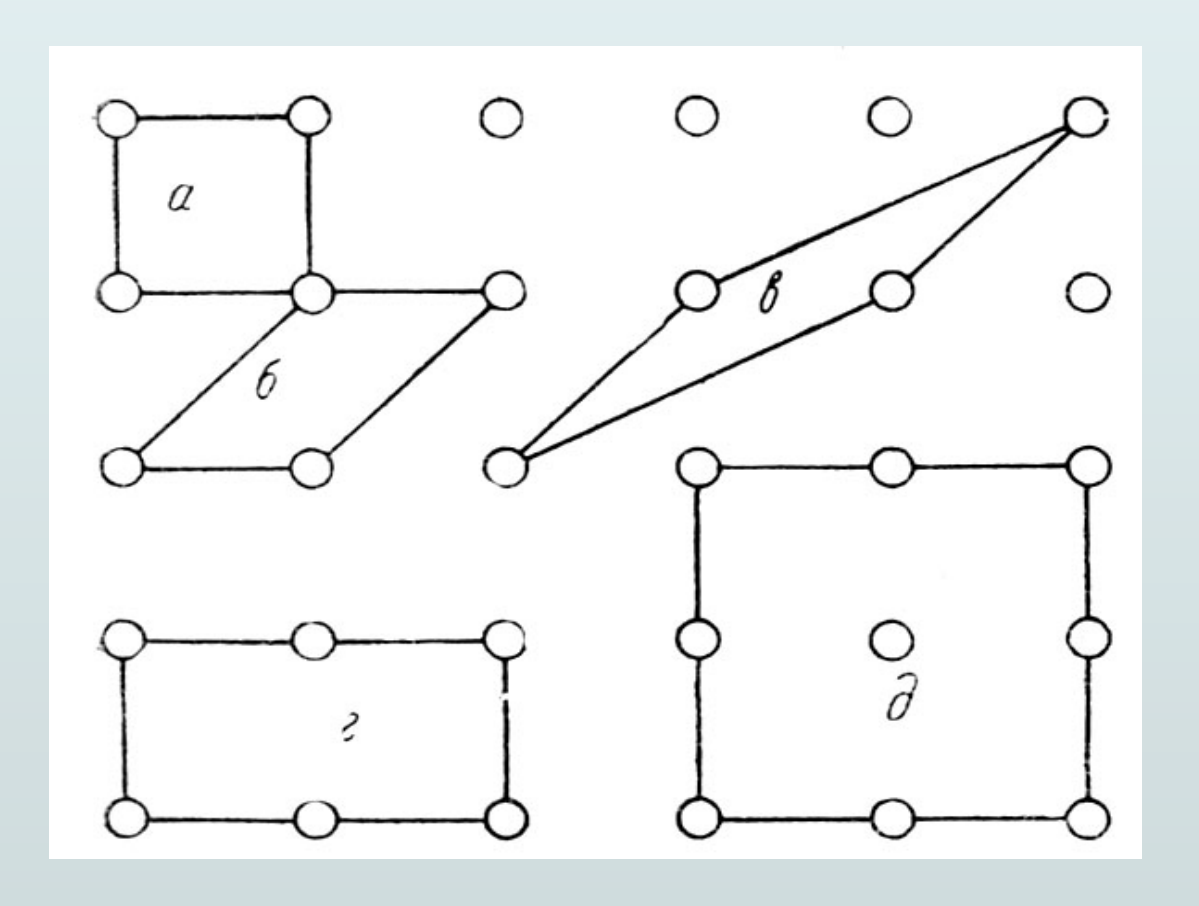
$$2d_{100}\sin\theta=2\lambda$$
 \downarrow
 $2(d_{100}/2)\sin\theta=\lambda$
 \downarrow
 $2d_{200}\sin\theta=\lambda$

$$\lambda = 2d_{hkl}\sin\theta$$



Элементарная ячейка — это условно выбранный трехмерный полиэдр, основанный на трех некомпланарных векторах, смещение которого на величину и в направлении любого из этих векторов показывает среднее расположение атомов в новой ячейке.

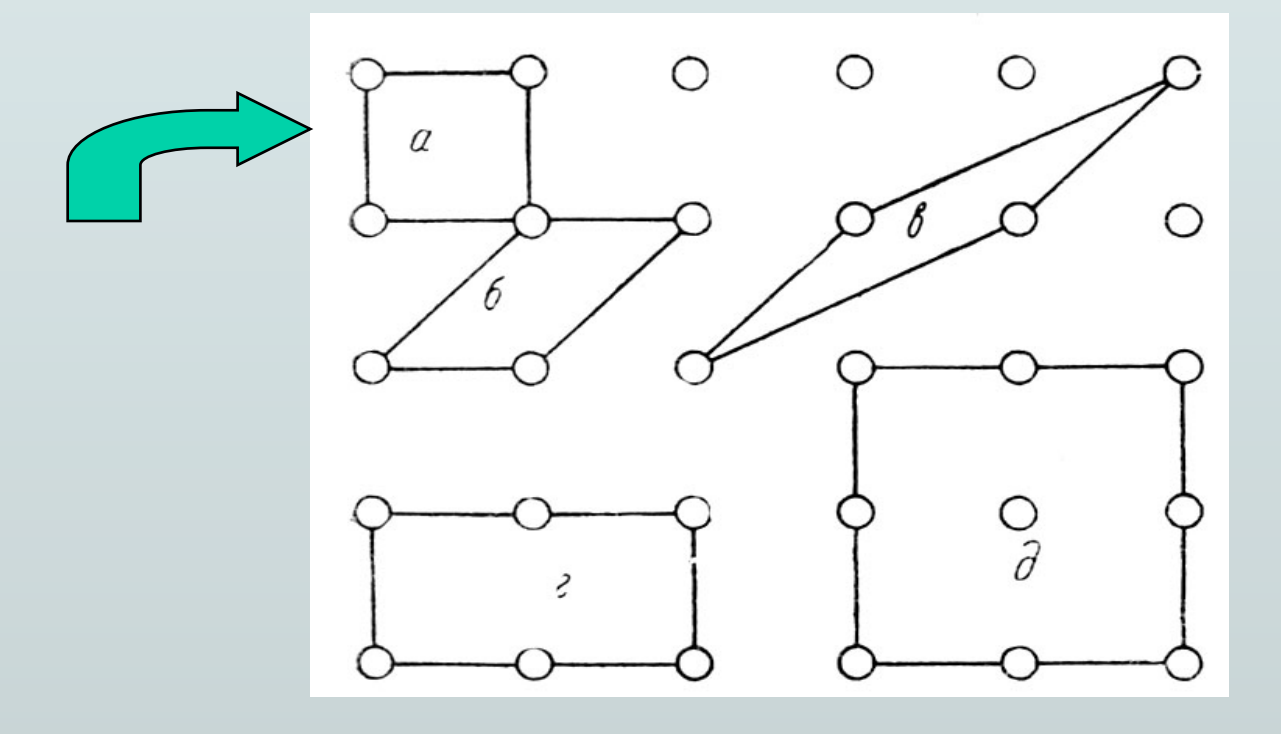




Какой же из них?

Правила выбора элементарной ячейки

- 1. Симметрия ячейки такая же, как и симметрия решётки
- 2. Число прямых углов максимально
- 3. Объём минимальный при соблюдении 1 и 2.



14

Решётки Бравэ

1 – триклинная

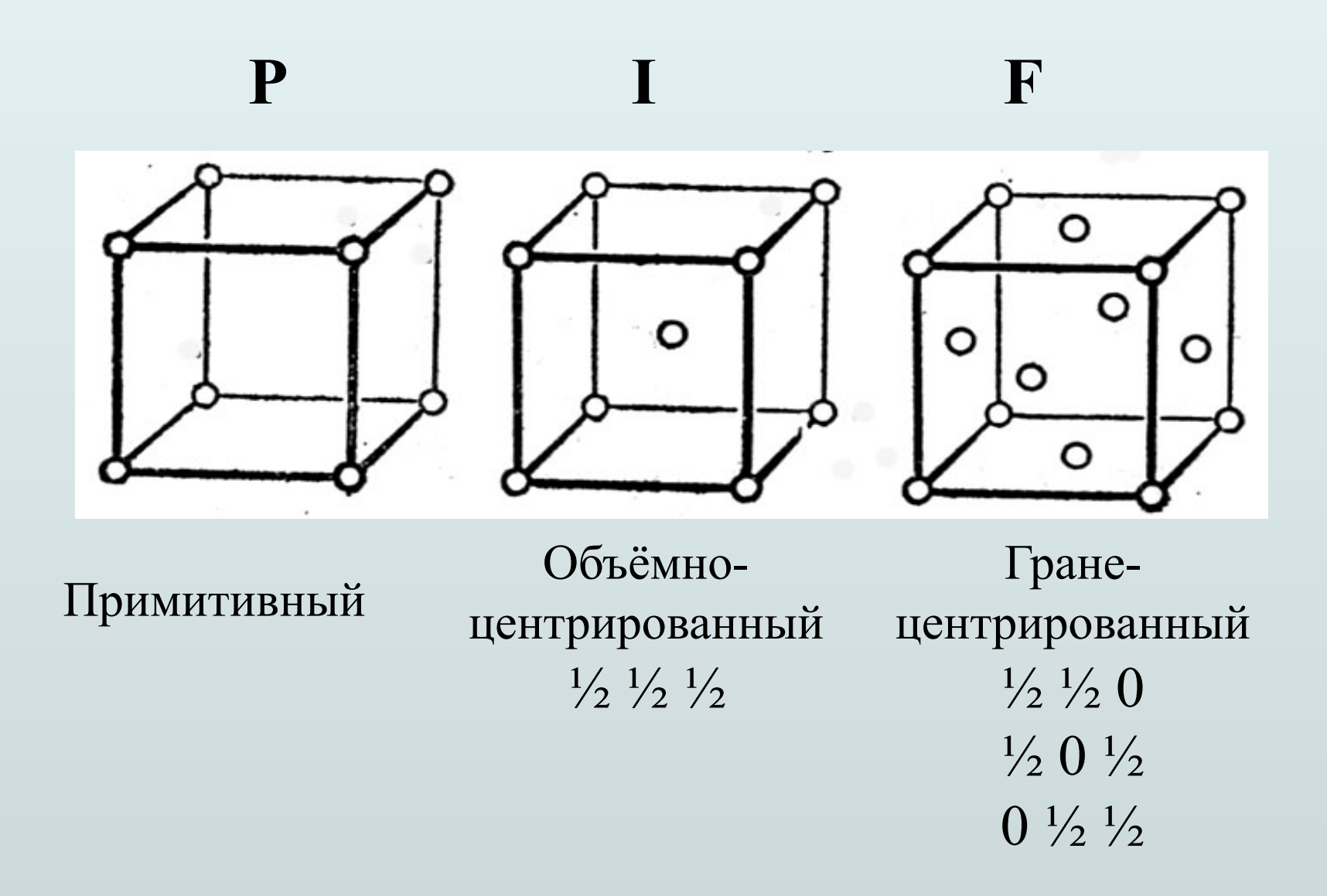
2,3 – моноклинная

4-7 – (орто)ромбическая

8,9 – гексагональная

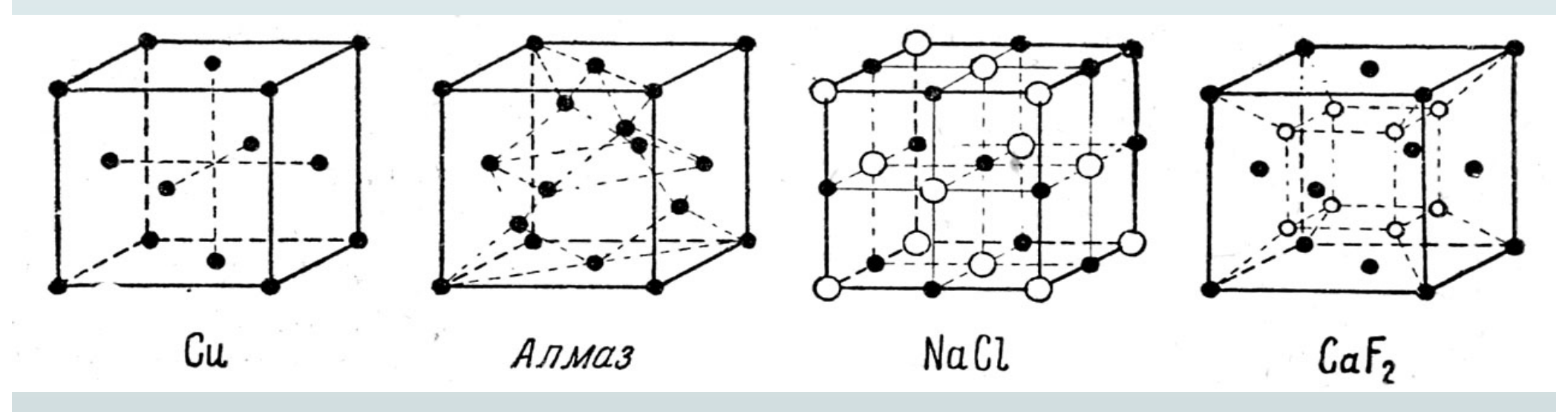
10,11 – тетрагональная

12-14 - кубическая



Дополнительные трансляции в кубической ячейке

Разные структуры с одинаковой решёткой Бравэ



Соотношение параметров и углов элементарных ячеек для различных сингоний

Симметрия	Соотношения параметров
триклинная	a≠b ≠ c α ≠ β ≠ γ ≠ 90°
моноклинная	a≠b ≠ c α ≠ β ≠90° γ = 90°
ромбическая	a≠b ≠ c α =β =γ= 90°
гексагональная	$a=b \neq c$ $\alpha = \beta = 90^{\circ} \gamma = 120^{\circ}$
тетрагональная	$a=b \neq c$ $\alpha = \beta = \gamma = 90^{\circ}$
кубическая	$a=b=c$ $\alpha=\beta=\gamma=90^{\circ}$

14 решёток Бравэ

+

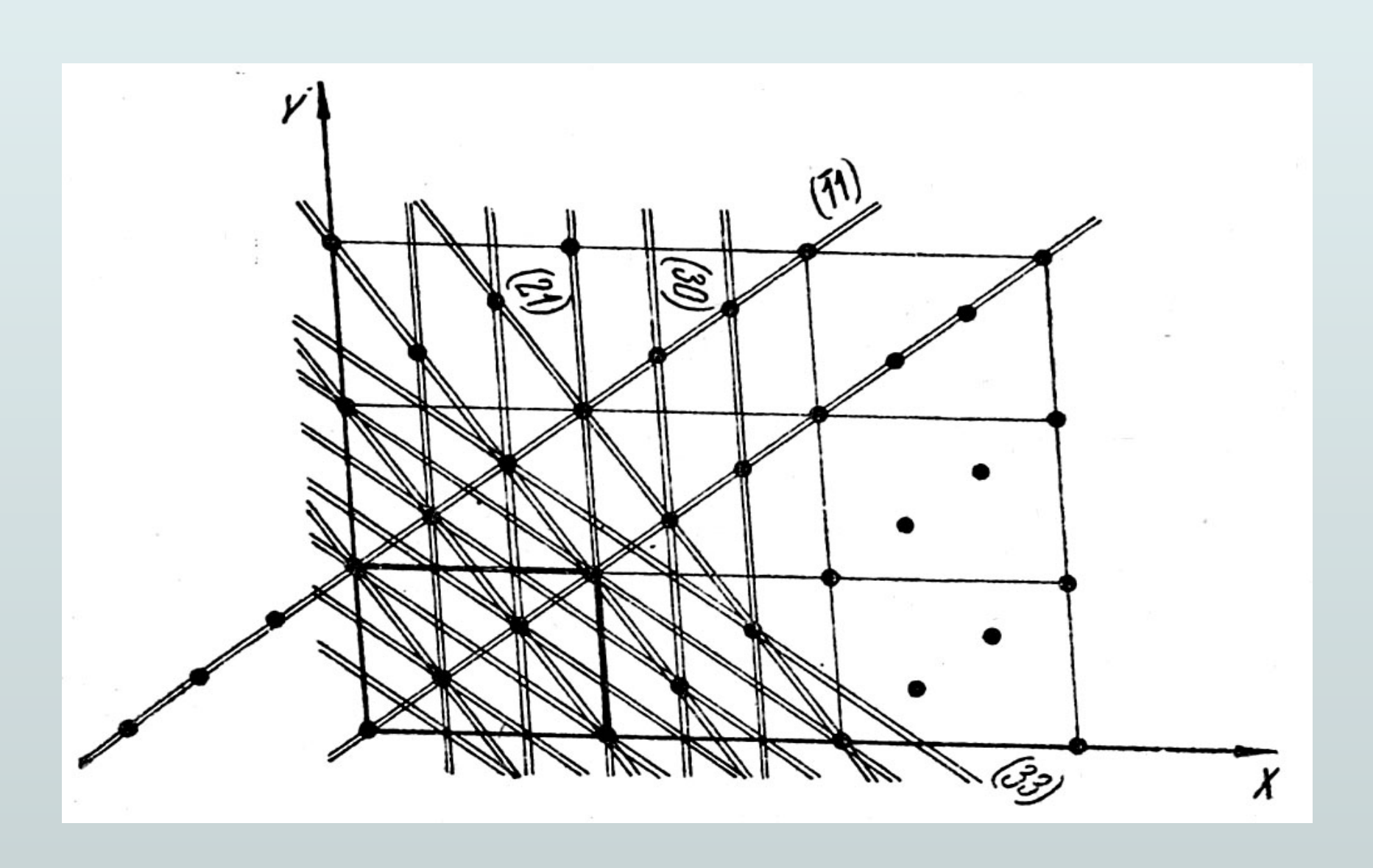
элементы симметрии

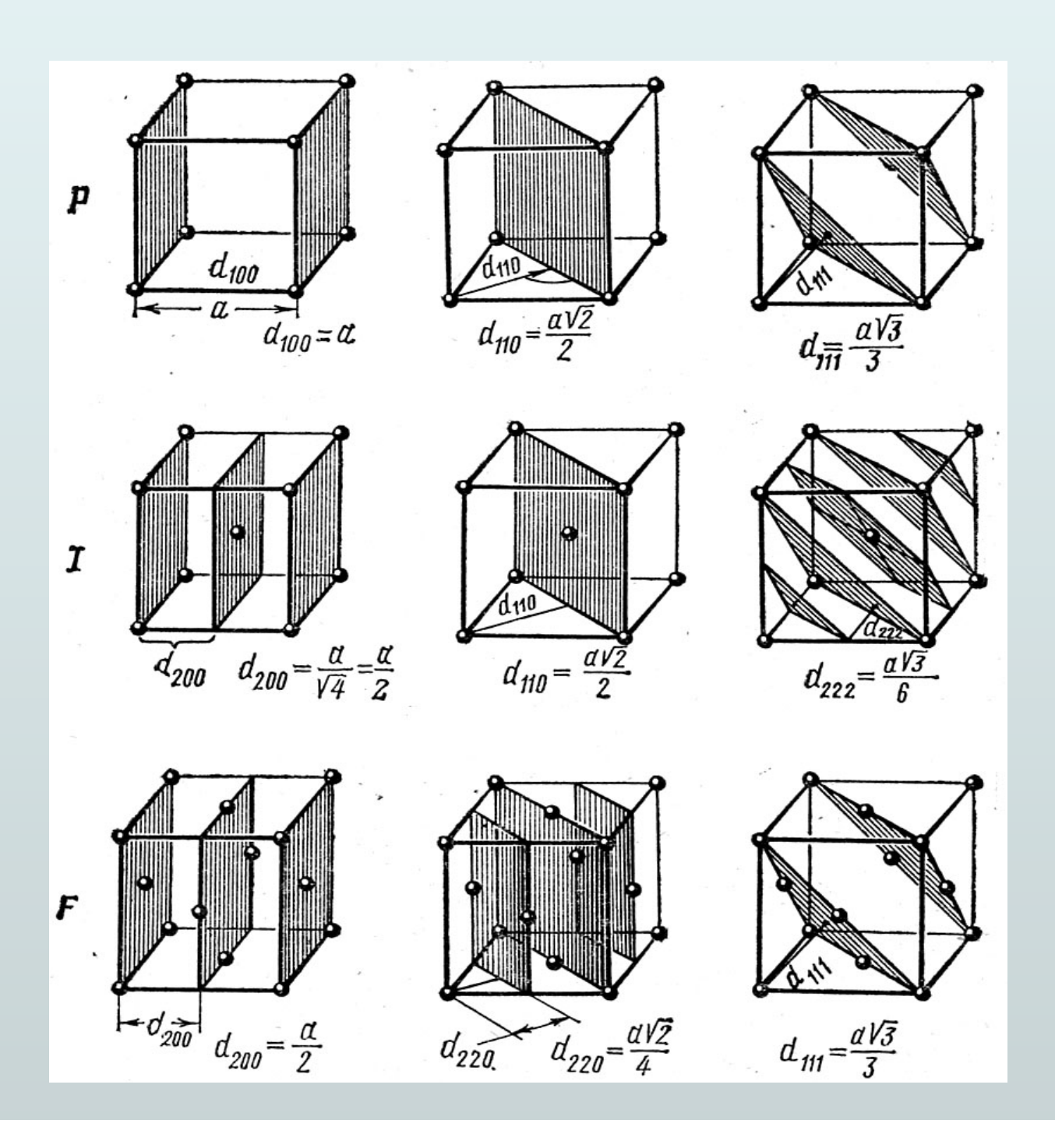


230 пространственных групп

Симметрия	Типы центрировки
триклинная	P
моноклинная	P, C
ромбическая	P, C, I, F
гексагональная	P, R
тетрагональная	P, I
кубическая	P, I, F

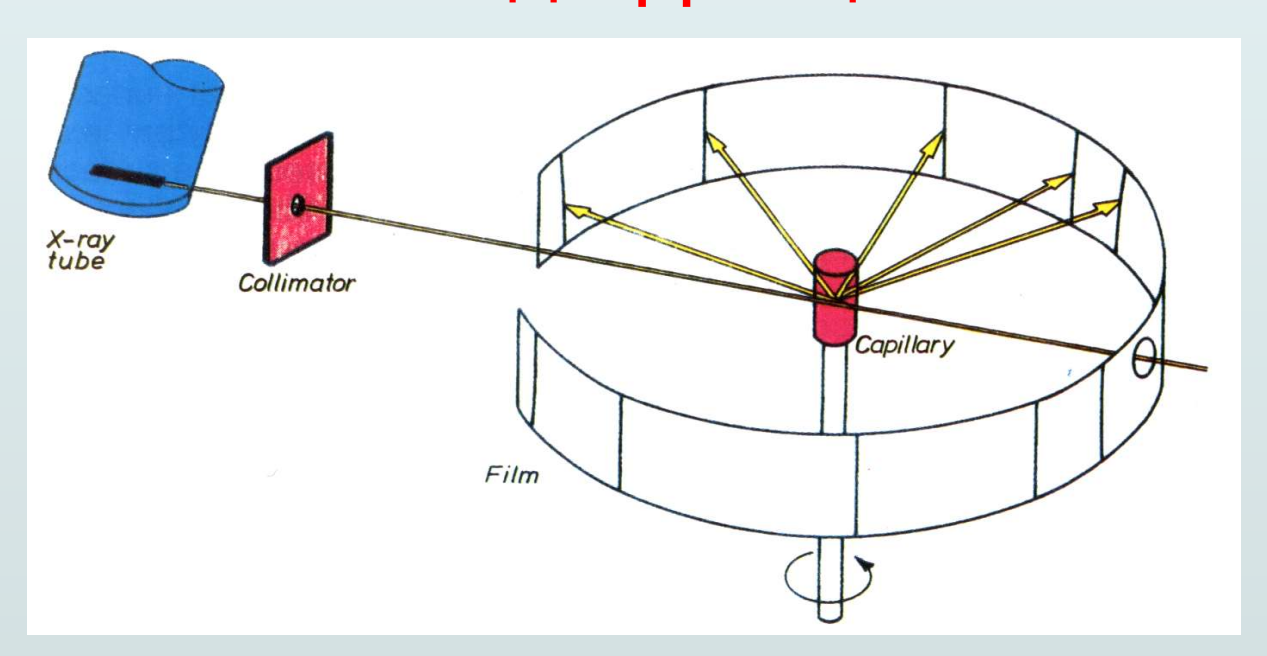
Индексы Миллера





Плоскости с максимальными d в кубических ячейках

Рентгеновские дифракционные методы



ФОТО

СЧЁТЧИК

Рентгеновские камеры

Дебая-Шерера Гинье

Гандольфи (Монокристальные камеры)

Дифрактометры

Геометрия:

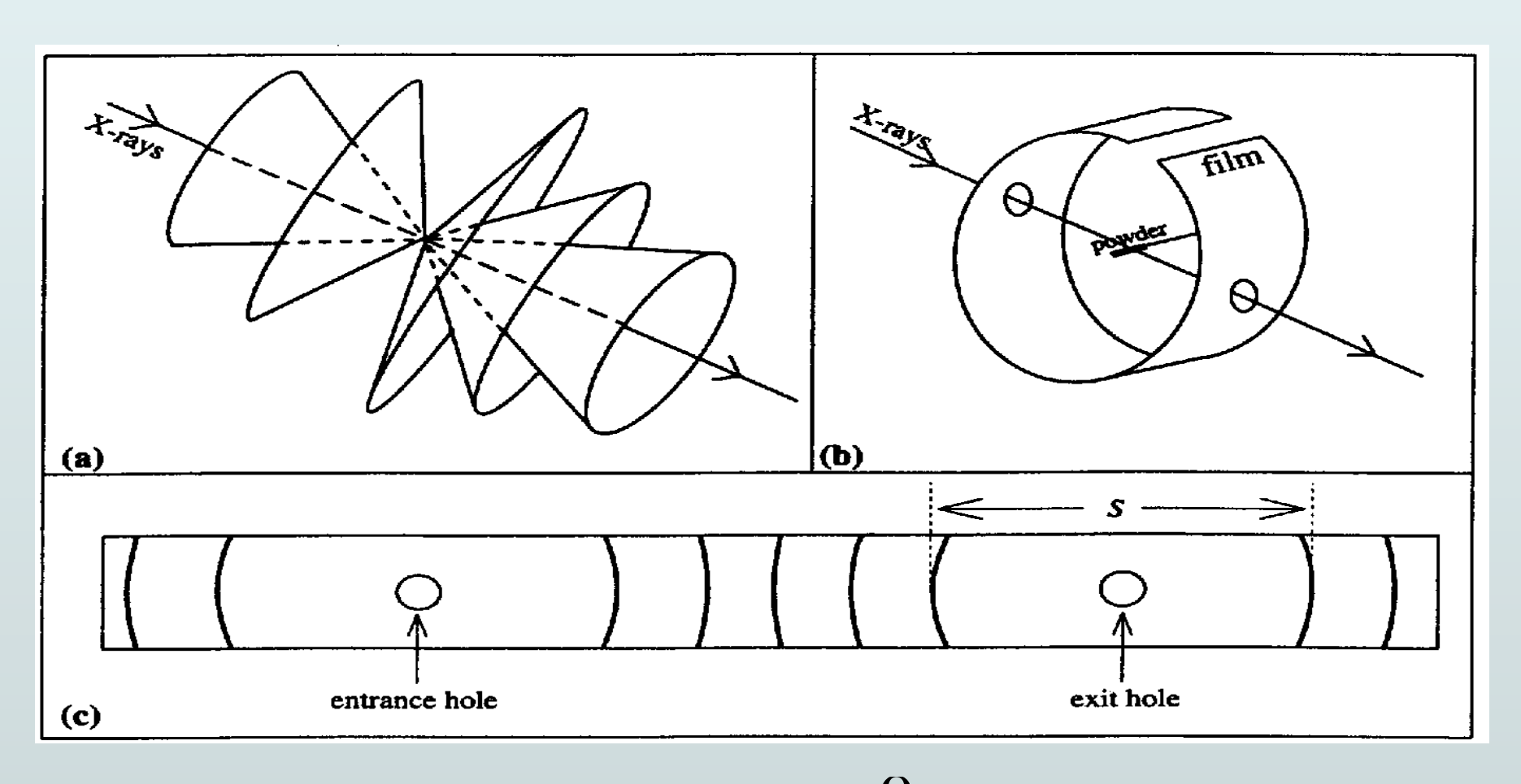
на отражение

на прохождение

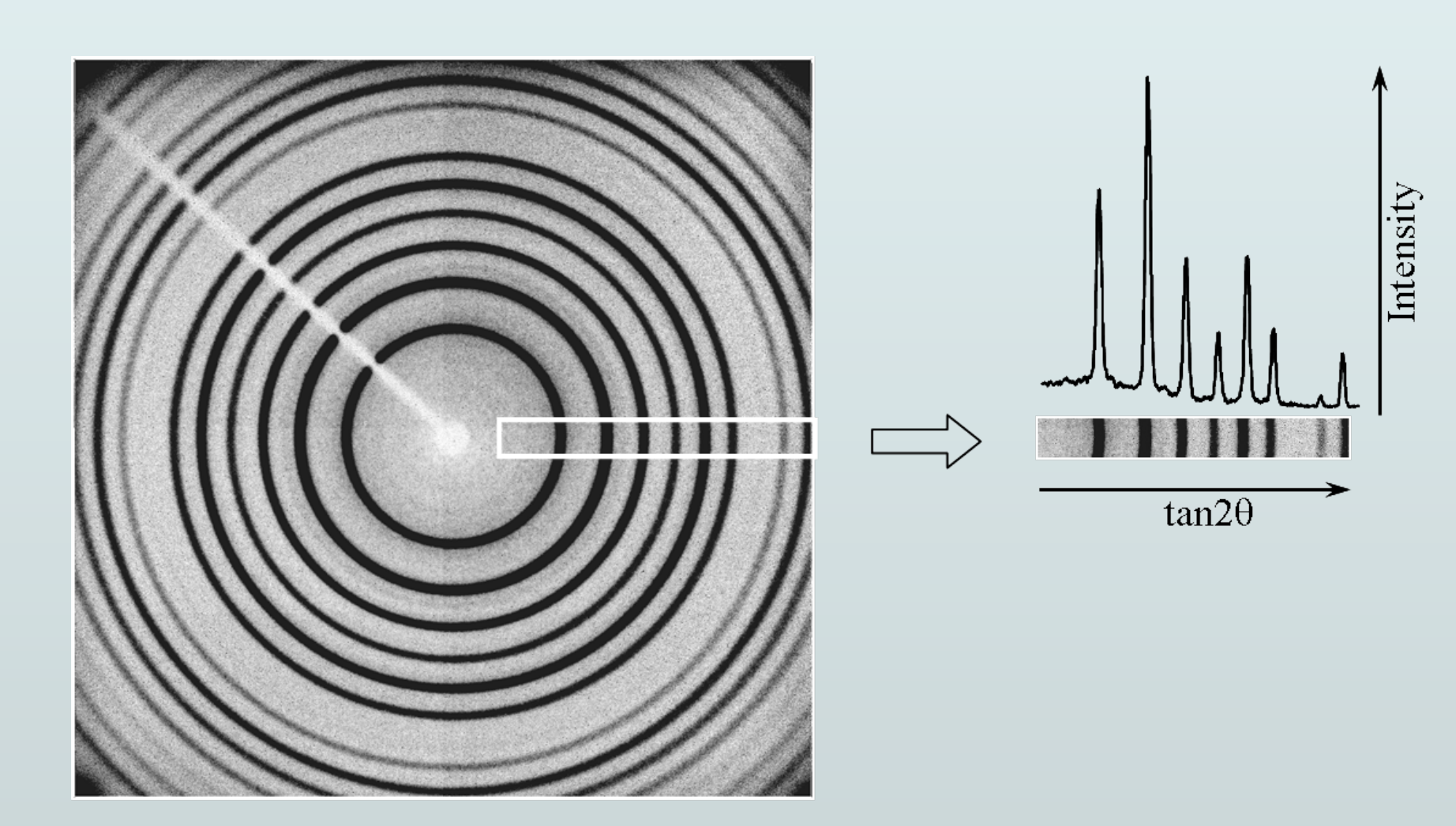
Гинье-тип

Дебая Шерера-тип

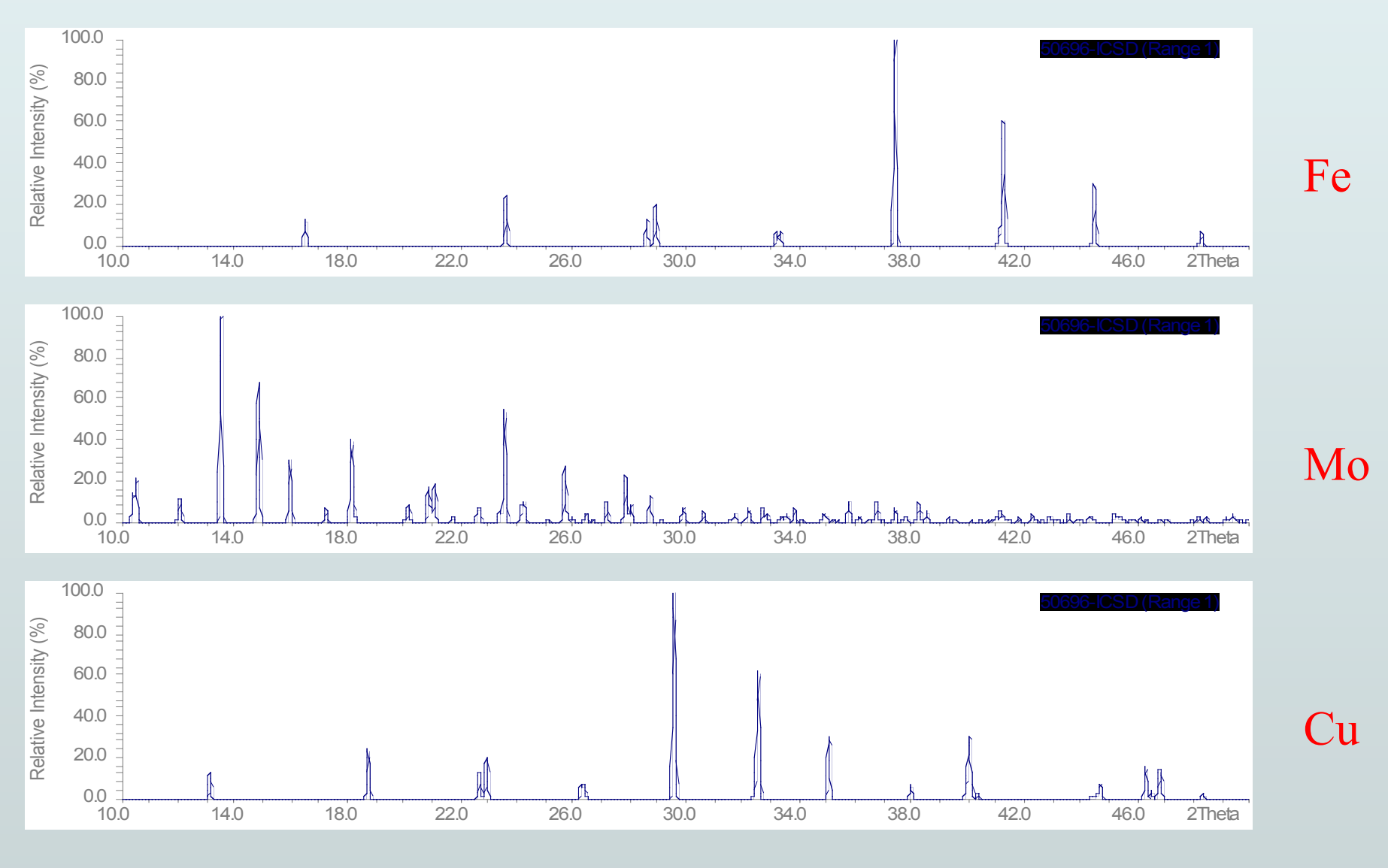
(Монокристальные)



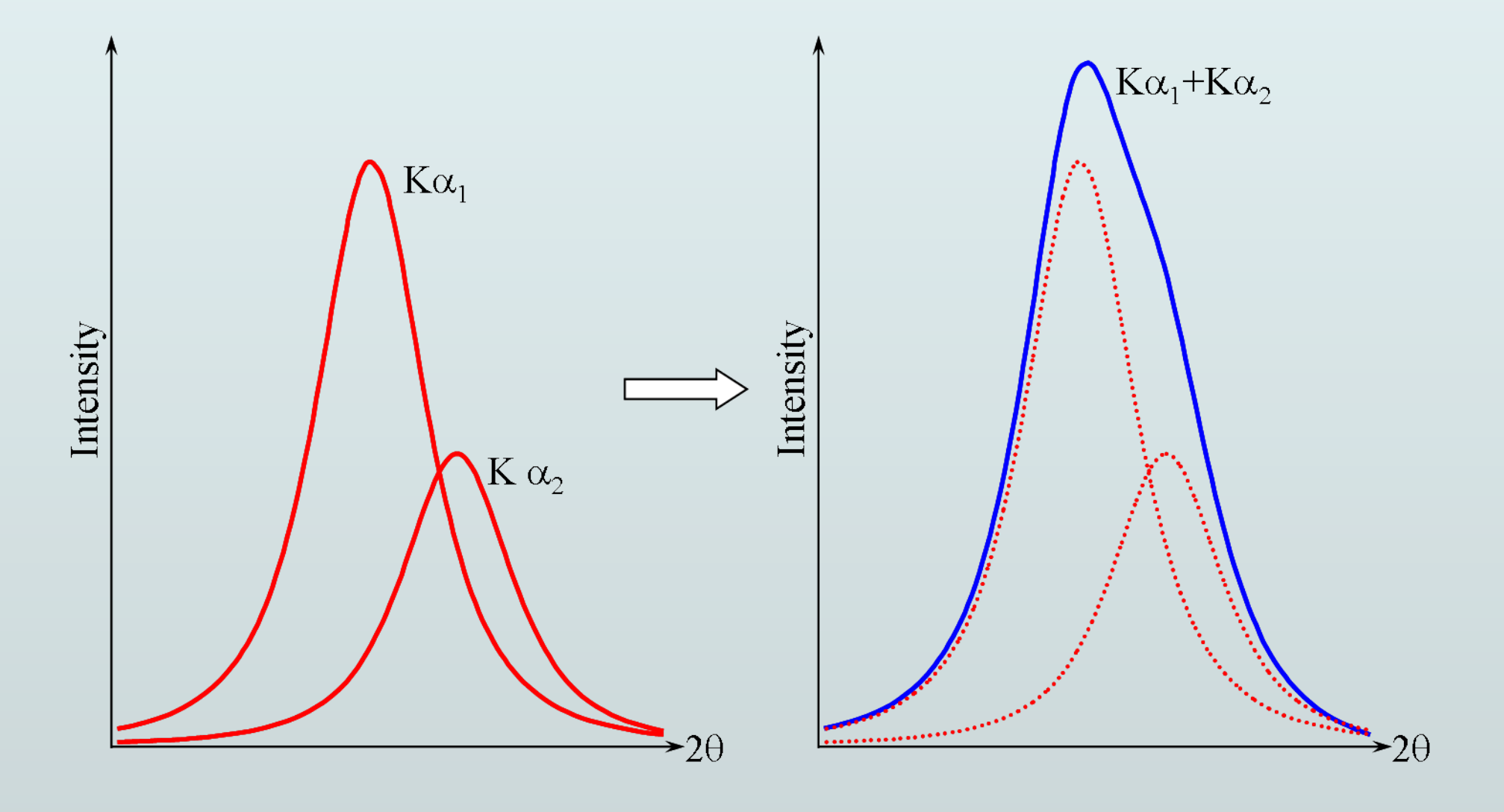
$$\frac{S}{2^{\pi}R} = \frac{4^{\theta}}{360}$$



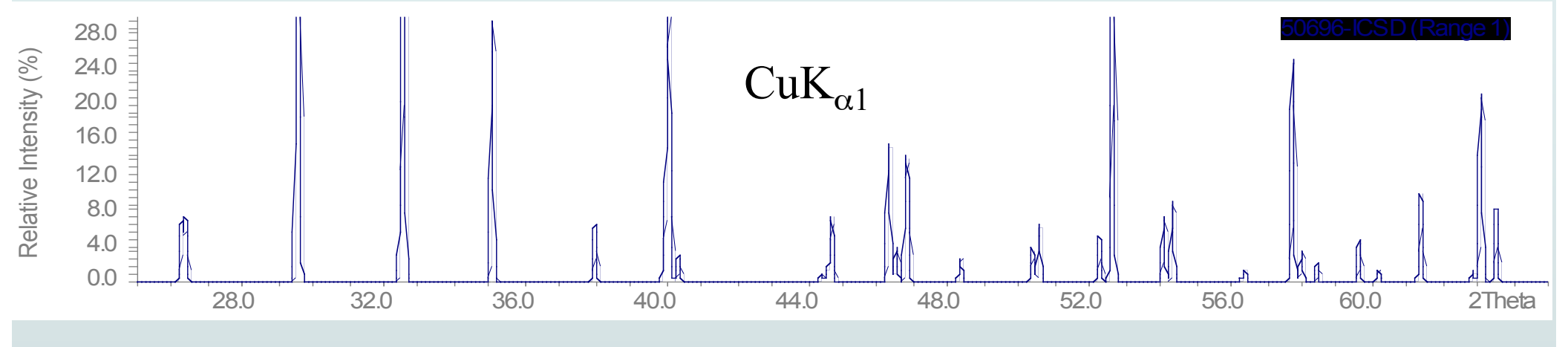
Выбор длины волны для порошкового эксперимента

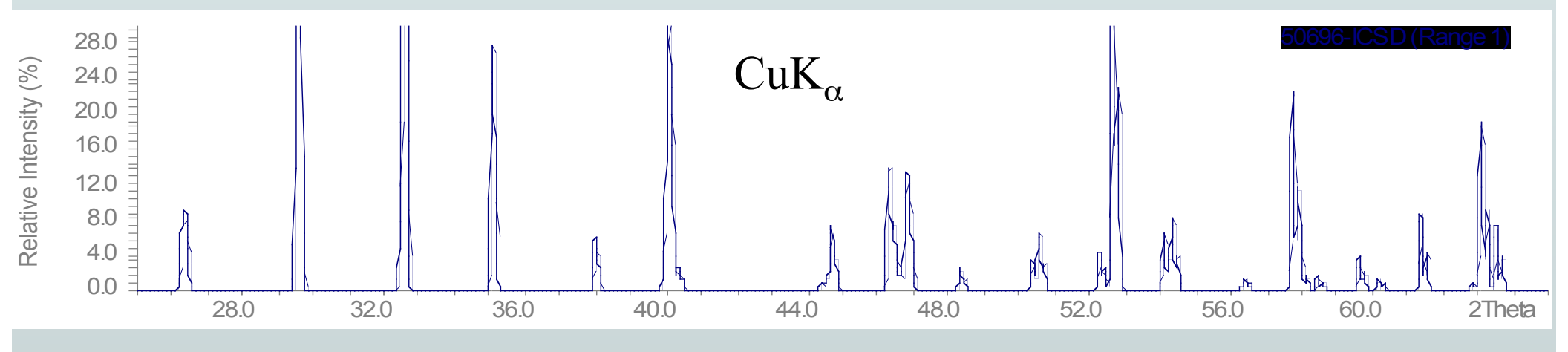


Mo, Cu, Fe ???

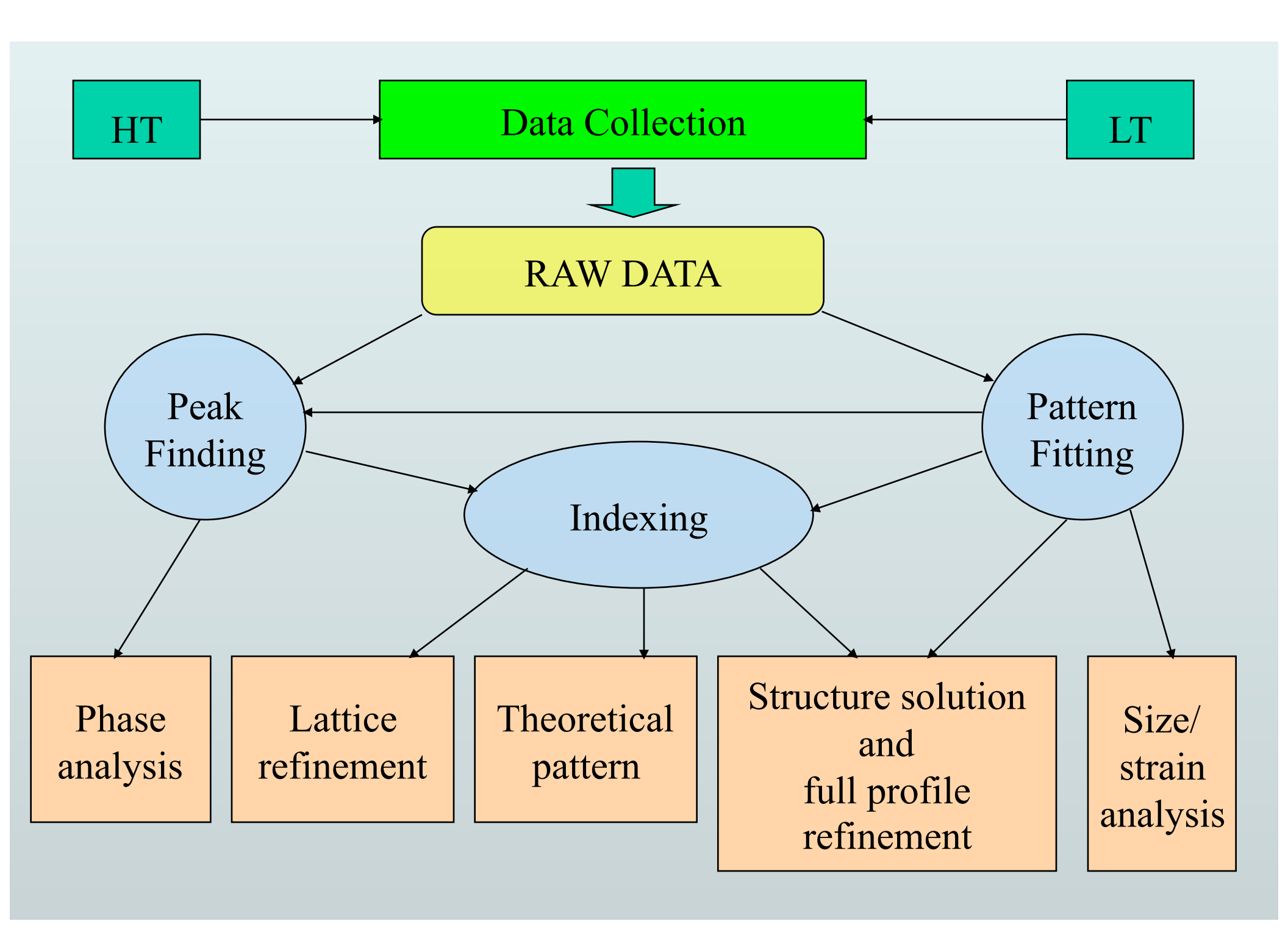


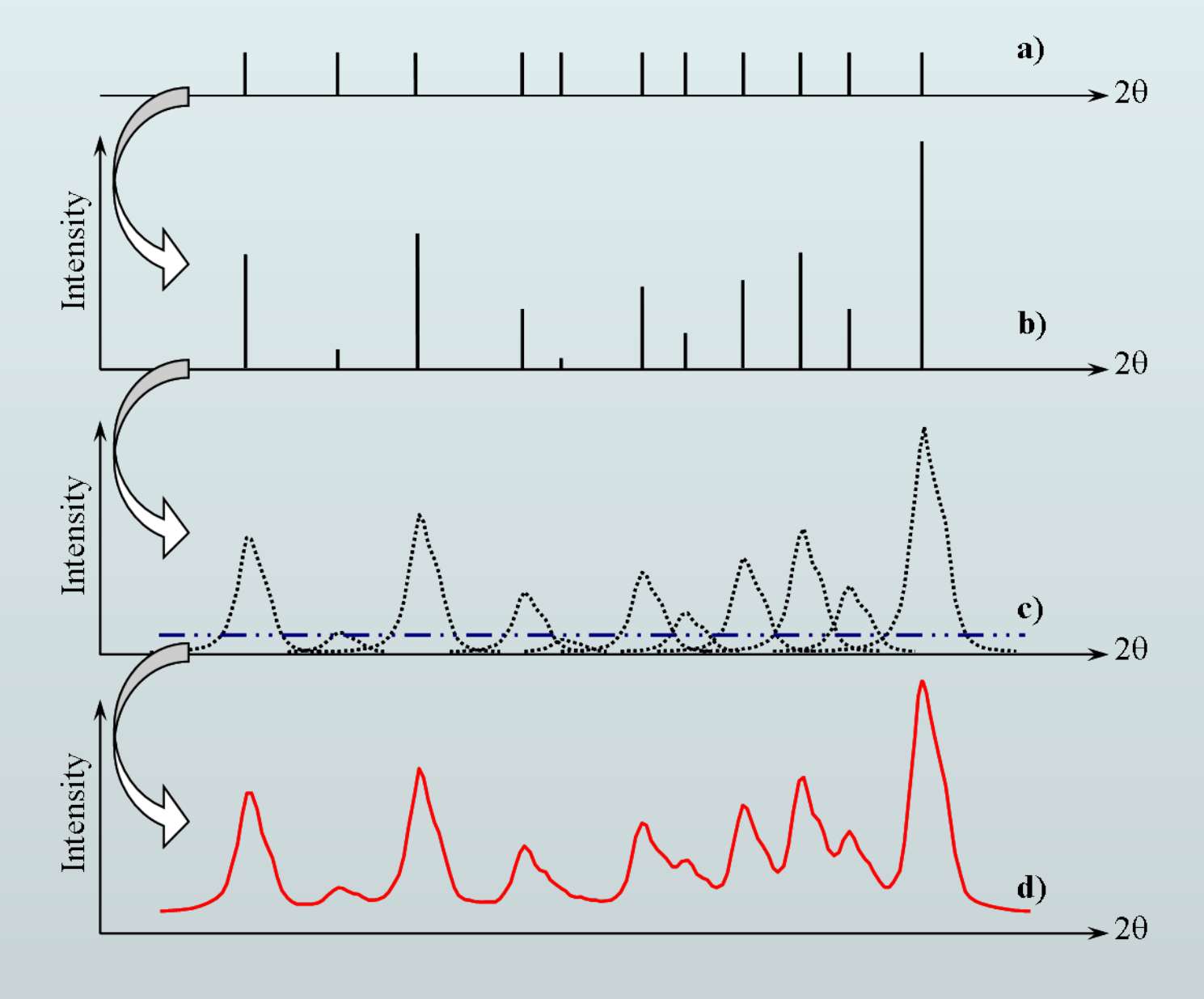
Влияние типа излучения на вид рентгенограммы





 CuK_{β} ???





Качественный РФА

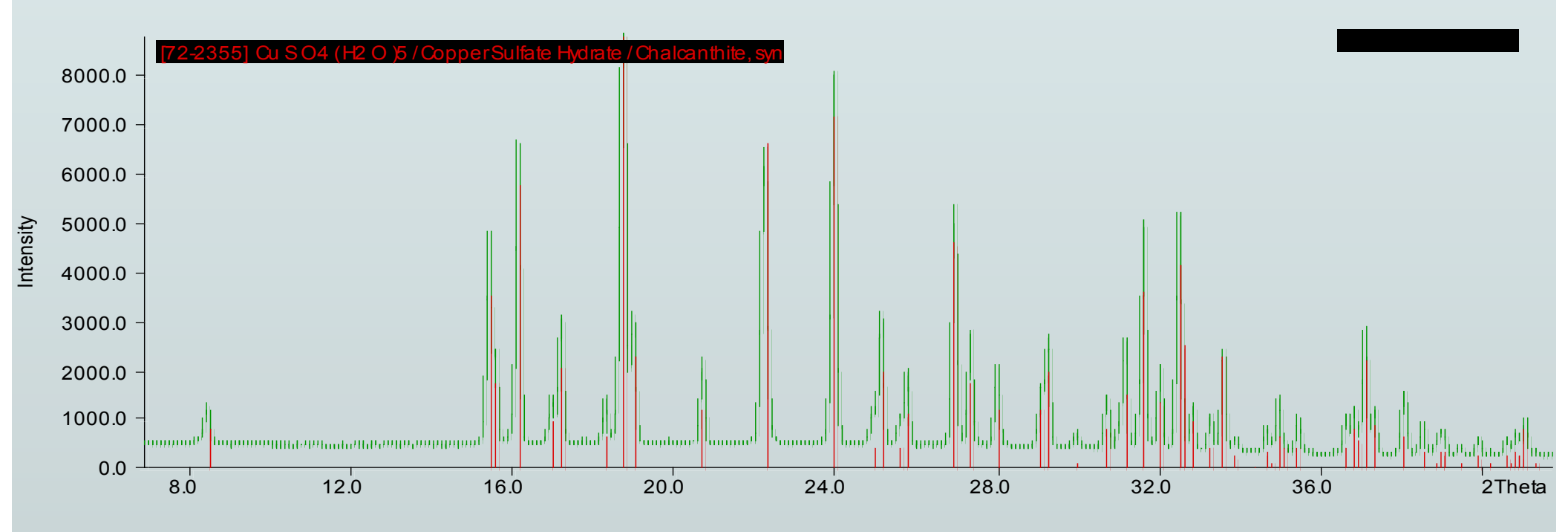
Область применения:

Идентификация известных соединений.

Построение фазовых диаграмм.

Поиск новых соединений.

Контроль технологических процессов



Количественный РФА

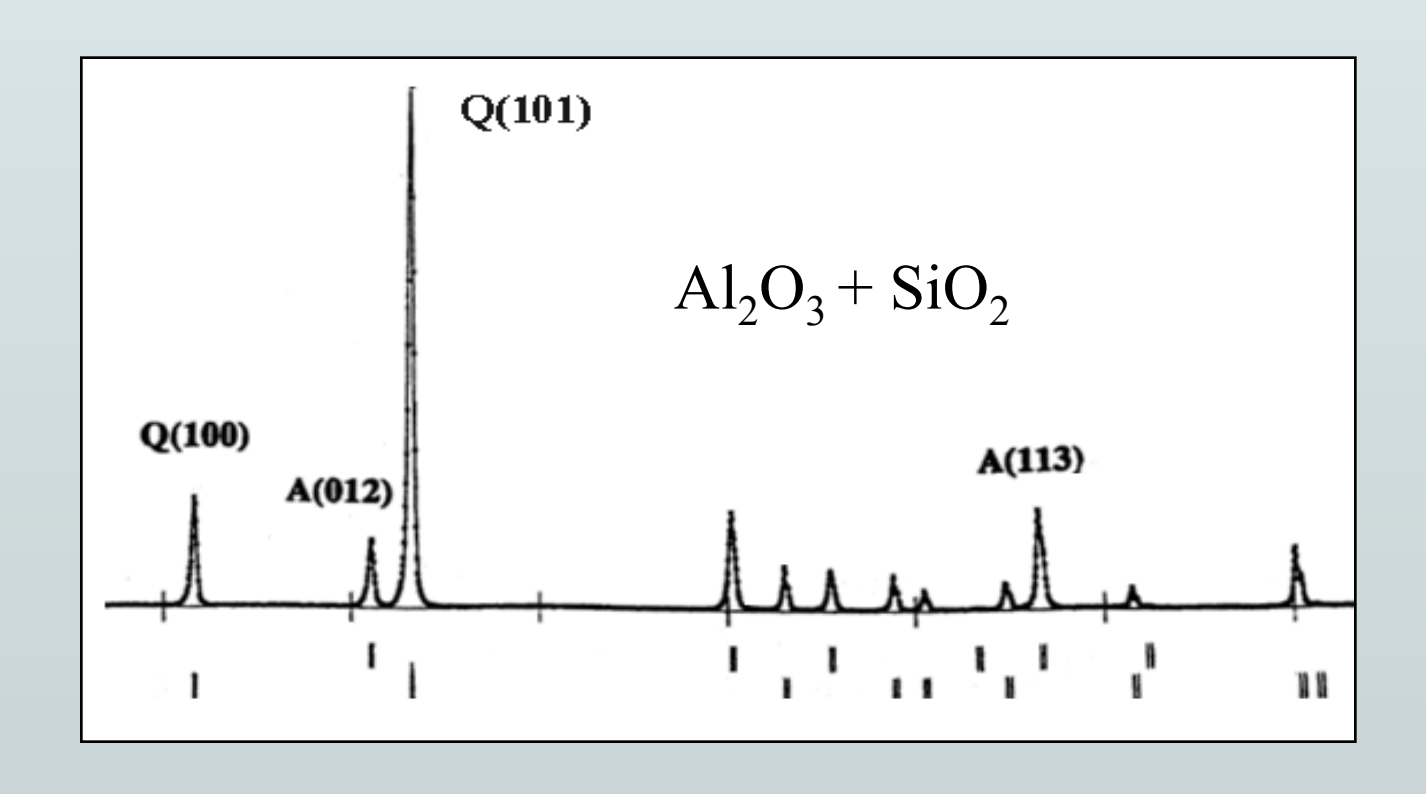
$$I_{\underline{i}\alpha} = K_{\underline{i}\alpha} X_{\alpha}/\mu_{\rho}$$

 $I_{i\alpha}$ - интенсивность линии на рентгенограмме;

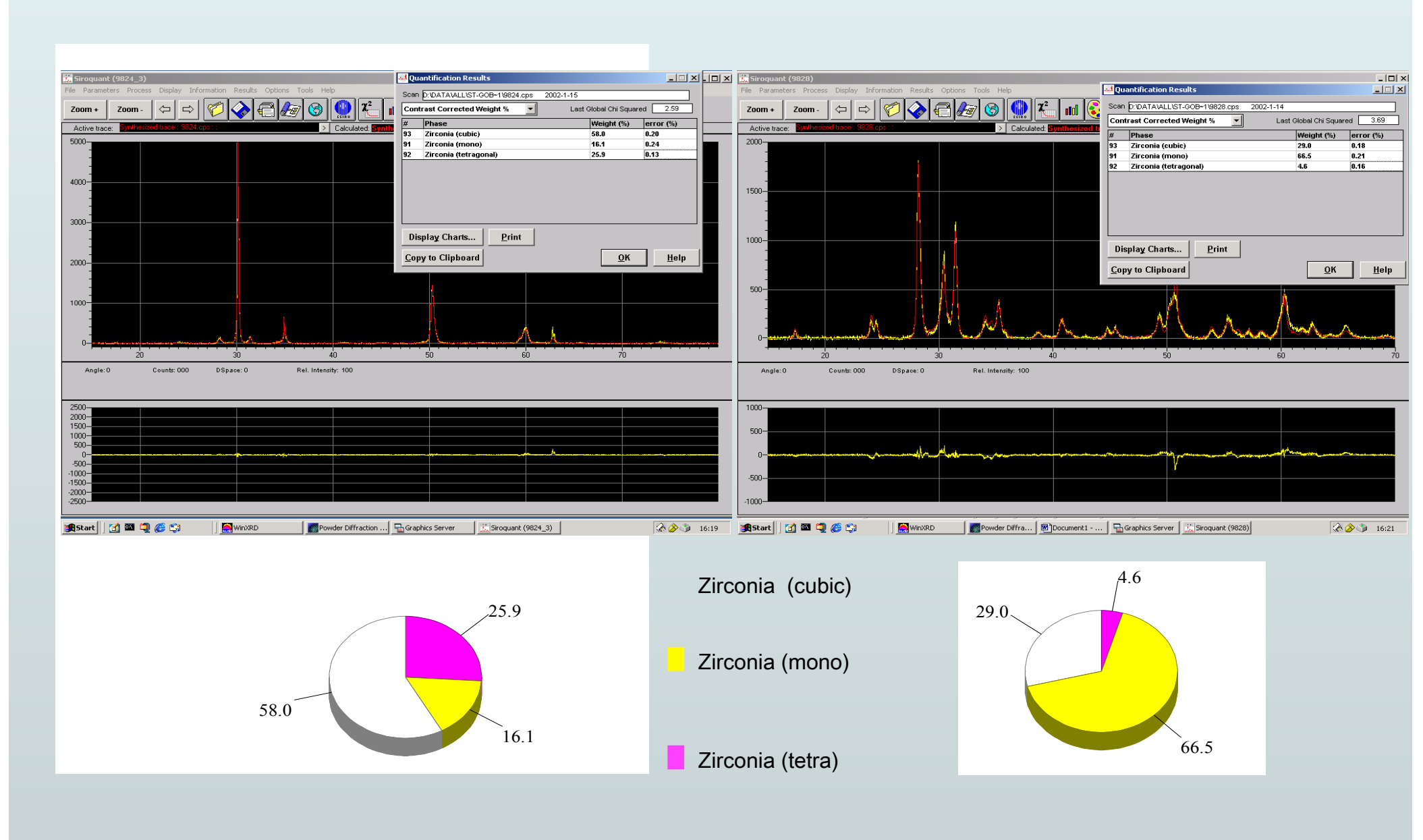
 $ar{K}_{i\alpha}$ - константа, зависит от структуры, экспериментальных условий и т.д.

 X_{α} - весовая доля вещества α ;

 μ_{o} - массовый коэффициент поглощения смеси.



Количественный анализ полиморфизма ZrO₂



Определение параметров элементарных ячеек

где:

 \mathbf{d}_{hkl} - межплоскостное расстояние

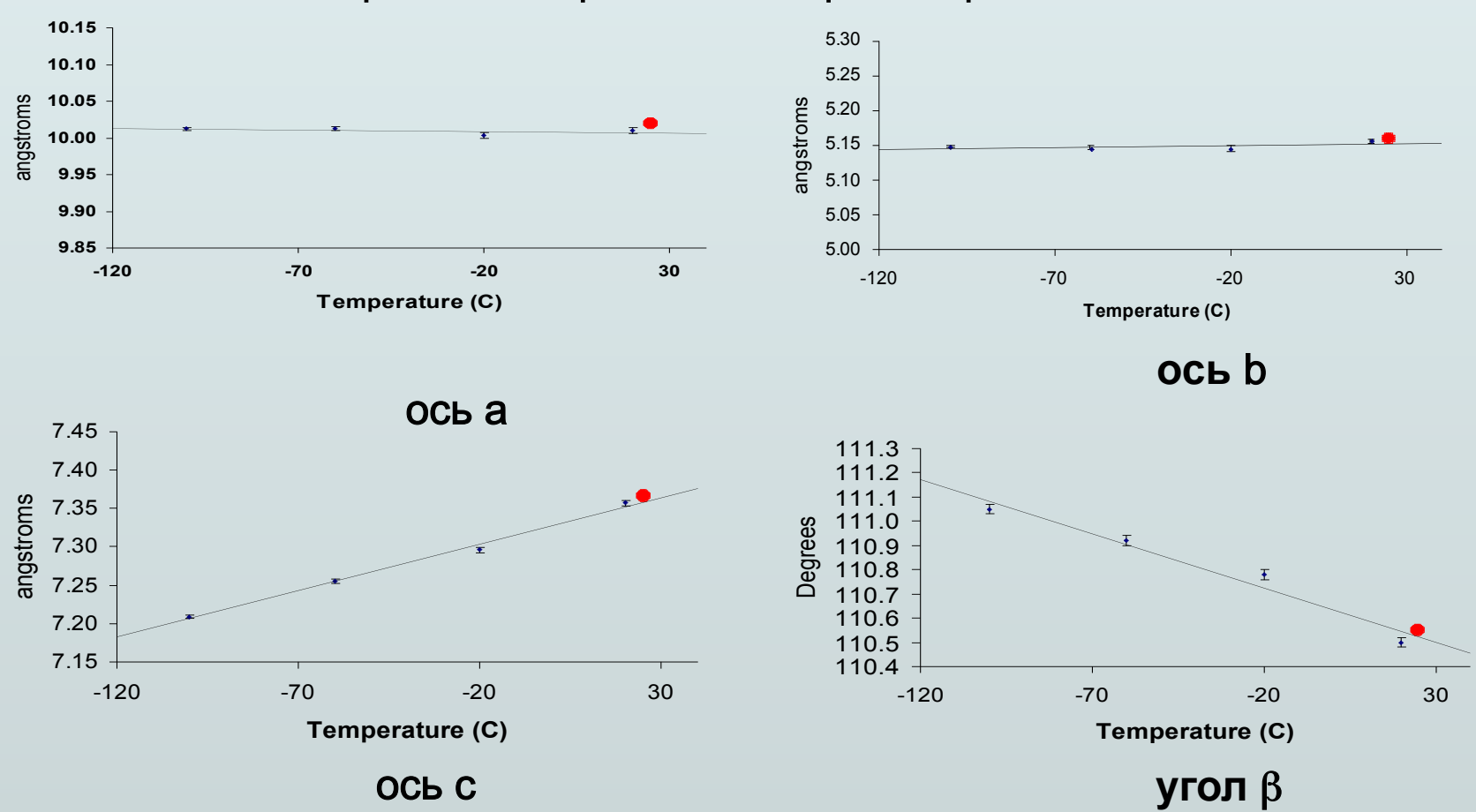
Аналитические методы индицирования

Использование компьютерных программ

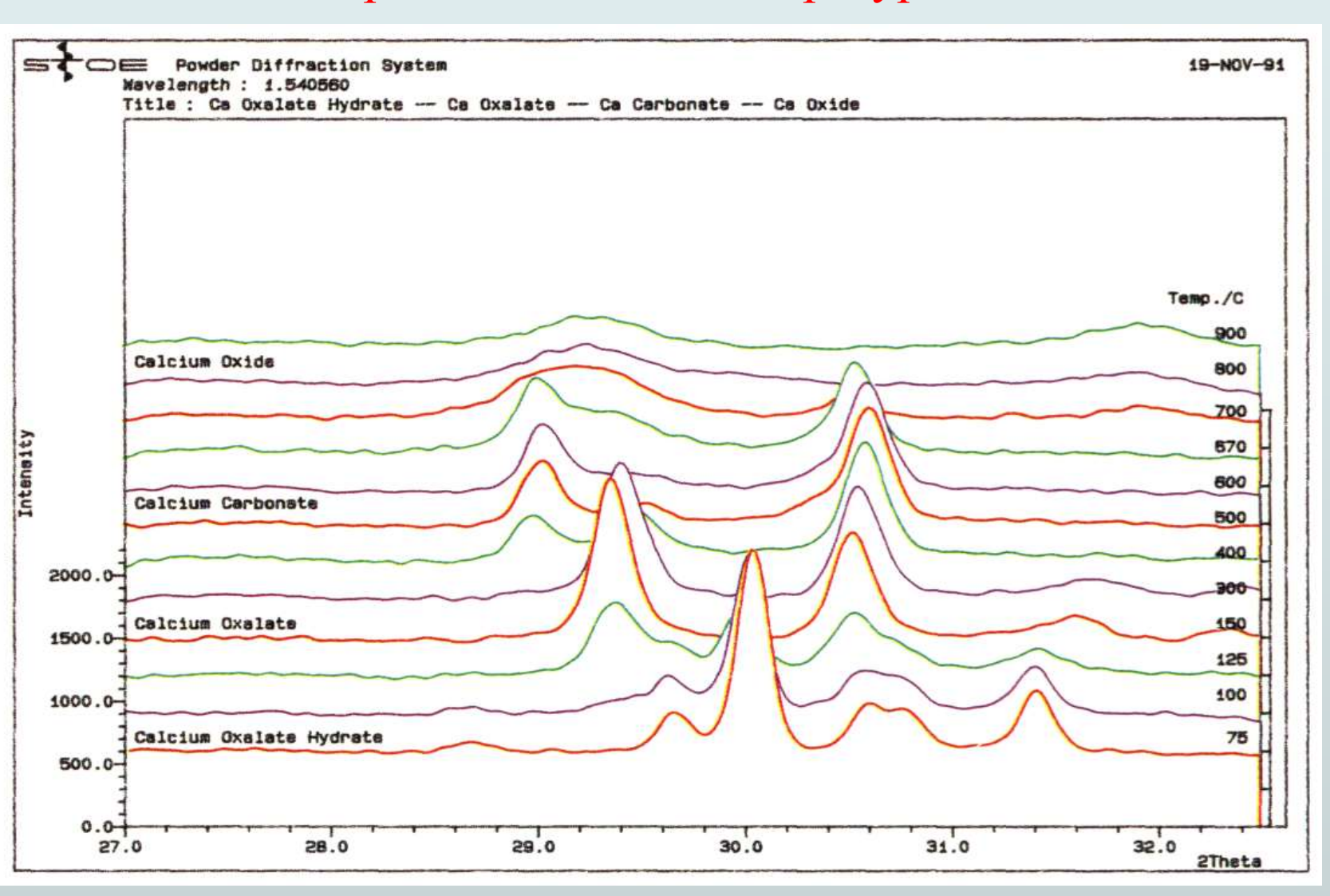
Уточнение параметров методом МНК

Анализ систематических погасаний ⇒ возм. пространственная группа

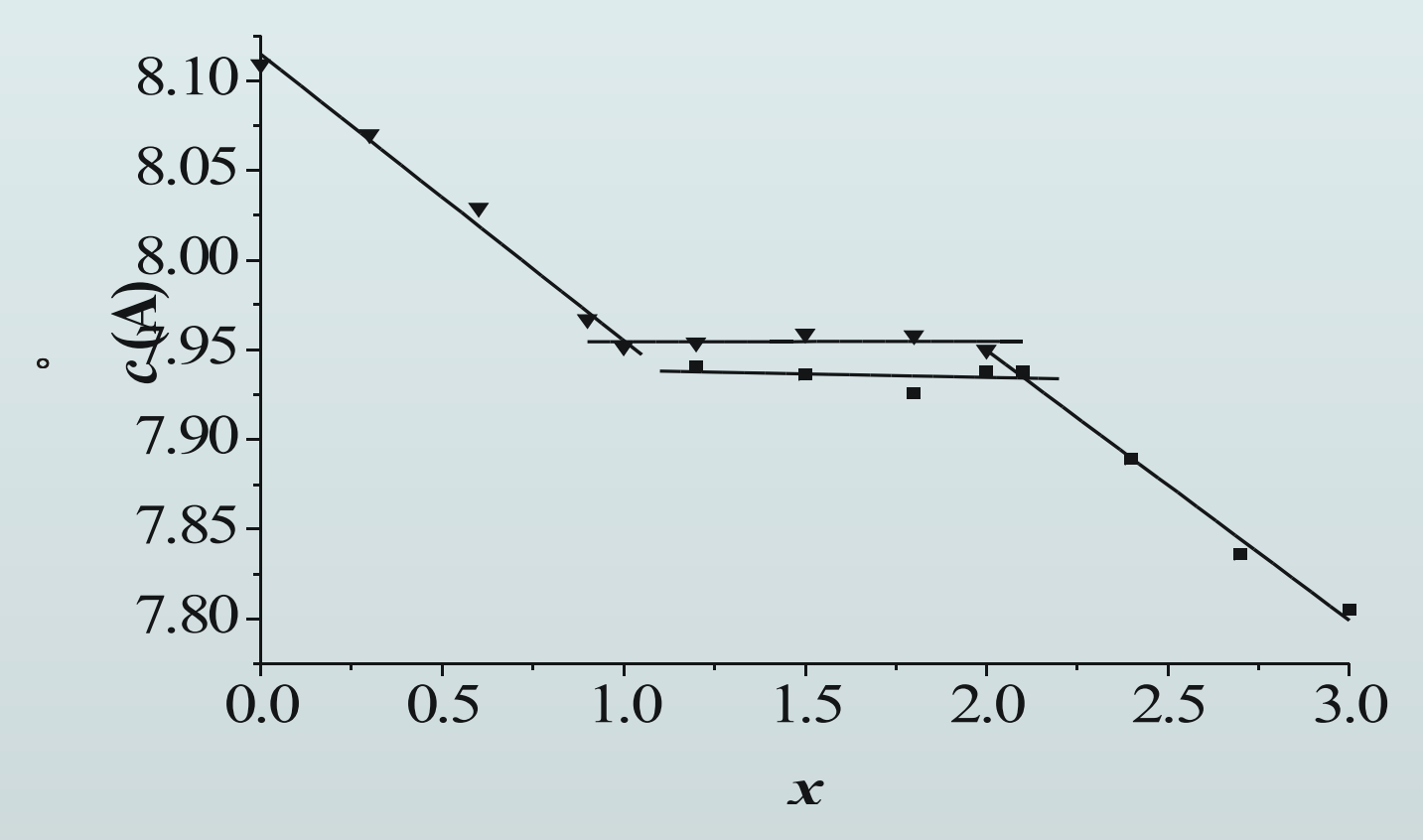
Анизотропное термическое расширение



Изучение фазовых превращений при изменении температуры



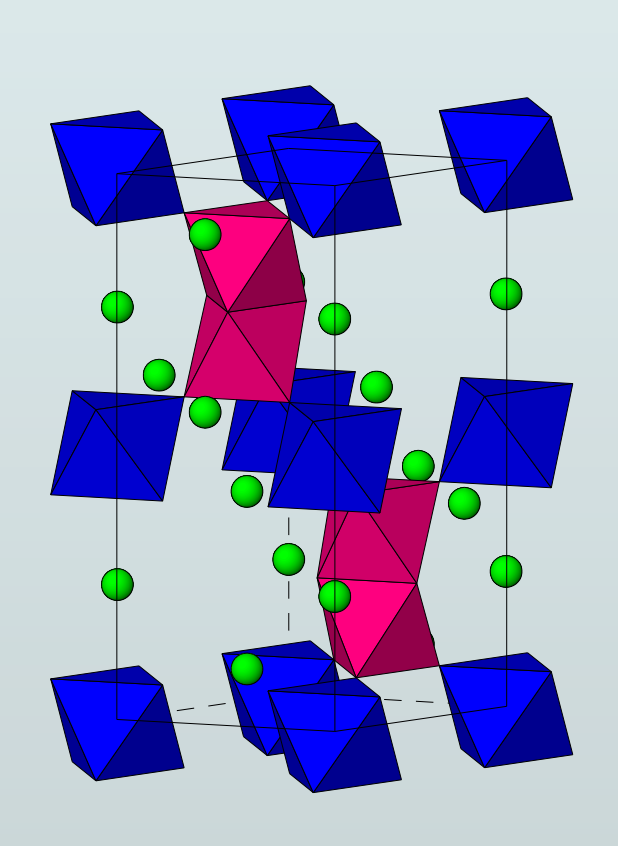
Изучение образования твёрдых растворов

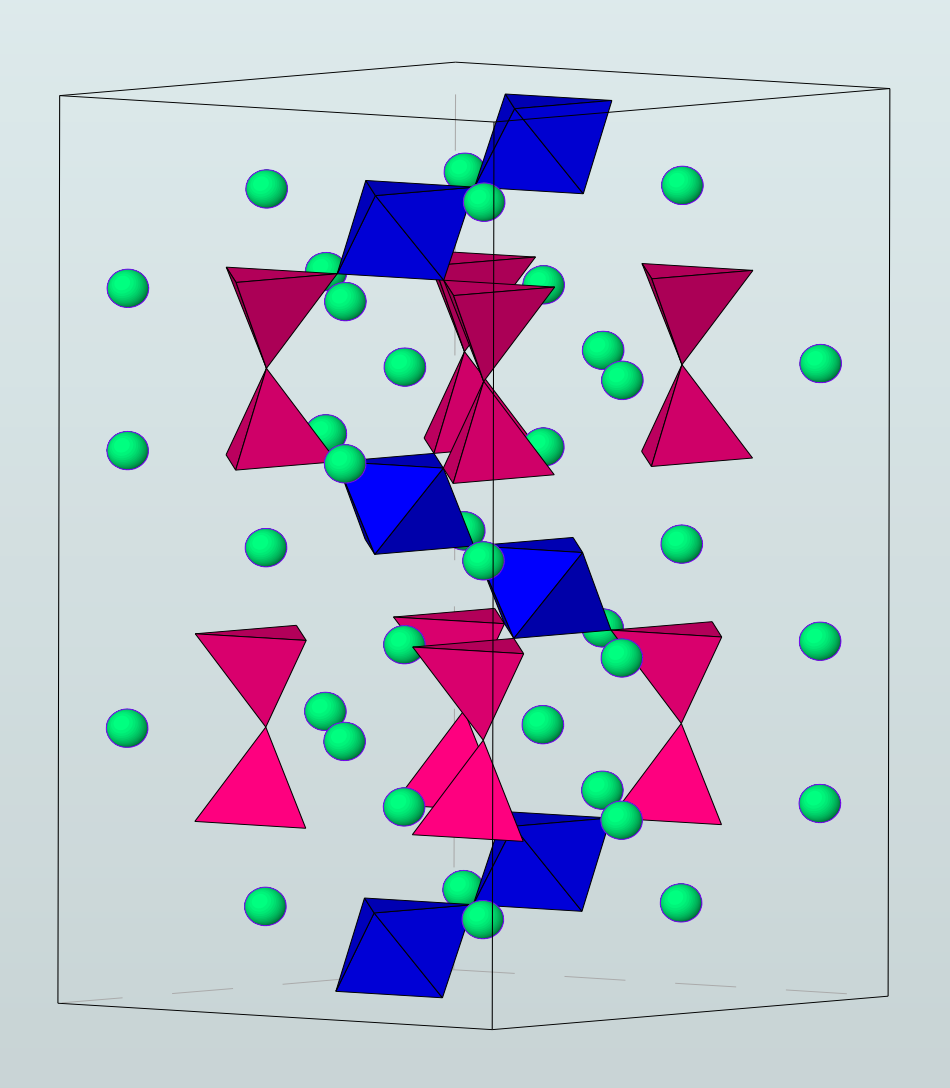


Зависимость параметра c твердых растворов $Hg_2P_xAs_{3-x}Br$ от состава x

Определение кристаллических структур соединений

Определение модели структуры с использованием интегральных интенсивностей или других методов





Исследование кинетики фазовых превращений и твёрдофазных реакций

